

## 杭頭鉛直ばね定数の簡便計算法

(株)ジオトップ 正会員 平山 英喜

## 1. まえがき

杭頭鉛直ばね定数を手計算で計算する方法として、理論解および簡易ばねモデルの解を修正する方法を、実際の載荷試験の解析に基づいて提案した<sup>1)</sup>。

本稿では、提案した修正係数の仮定の妥当性を考察し、パラメトリック・スタディでそれを検証する。

## 2. 簡便計算法の概要

## 2.1 基本解

図-1に、計算法のモデルを示す。これらのモデルの解は、次の3つのパラメータの関数で与えられる:  $K_t = k_t L (\pi D)$ ,  $K_b = k_b A$ ,  $K_p = A E / L$ 。ここに、 $L$ =杭長,  $D$ =杭径,  $A = \pi D^2 / 4$ ,  $k_t$ =周面せん断地盤反力係数,  $k_b$ =先端地盤反力係数,  $E$ =杭体のヤング率。

杭頭ばね定数の理論解 $K_{TH}$ と、ばねモデルでもっとも精度の良い③の解 $K_3$ は、各々次のようになる。

$$K_{TH} = \frac{\lambda \tanh \lambda + \gamma}{\gamma \tanh \lambda + \lambda} \lambda K_p \quad (1)$$

ここに、 $\gamma = K_b / K_p$ ,  $\lambda = (K_t / K_p)^{1/2}$ 。

$$K_3 = \frac{a}{1 + r_a} K_p \quad (2)$$

ここに、 $a = K_t / K_p$

$K_1 = K_t + K_b$ =モデル①の杭頭ばね定数

$$r = (K_1 - K_t) / K_1$$

=モデル①の[平均軸力]/[杭頭軸力]

## 2.2 修正解

(1)(2)式は、 $k_t = \text{constant}$  の均質地盤を仮定した解である。杭頭ばね定数に及ぼす地盤の非均質性の影響を、ばねモデル③における杭体圧縮量に着目して、簡潔に考慮する。軸力の平均値を杭中央での軸力値で近似し、図-2に示したB-B型の軸力分布モードでの(2)式の変化を考える。A-A型を仮定している(2)式の変化率から、非均質性の影響に対する補正として、次の修正減少係数 $R_{mod}$ を導入する。

$$R_{mod} = (1 + r_a) / (1 + r_{mod} a) \leq 1.0 \quad (3)$$

ここに、 $r_{mod} = (K_1 - K_{fu}) / K_1$

$K_{fu}$ =杭頭から杭中央までの $K_f$

ばねモデルによる(2)式では、さらに杭体と地盤の抵抗を分離している影響がある。これに対して、実際の載荷試験の解析結果<sup>1)</sup>から、(4)式に示す修正増加係数 $I_{mod}$ を導入する。

$$I_{mod} = 1 + 0.15 a \quad (4)$$

(1)(2)式による基本解を(3)または(4)式で補正し、簡便修正解として次式を用いる。

$$K_{THmod} = R_{mod} K_{TH} \quad (5)$$

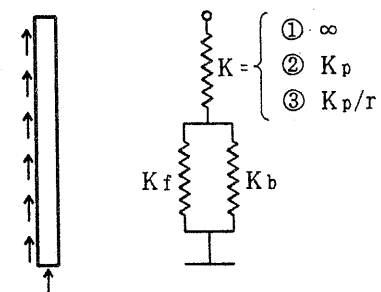
$$K_{3mod} = R_{mod} I_{mod} K_3 \quad (6)$$

## 3. 修正係数に関する考察

3.1 減少係数 $R_{mod}$ 

深さ $z$ における軸力 $Q(z)$ と杭体のひずみ $\varepsilon(z)$ との間には、 $\varepsilon(z) = \sigma(z) / E = Q(z) / EA$ の関係がある。したがって、軸力分布は、 $k_t$ の分布だけでなく、杭体のヤング率 $E$ によっても変化する。

図-2の軸力分布は、 $E = \infty$ を仮定したものである。実際の $E$ の値に応じて、軸力の絶対値だけではなく分布モードも図-2のものと異なってくるが、そ



(a)理論解 (b)ばねモデル  
図-1 計算法のモデル

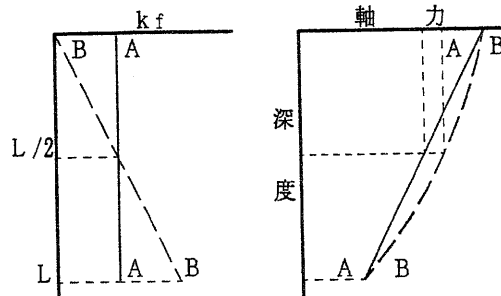


図-2  $R_{mod}$  の導入の際に仮定した軸力分布

キーワード：杭、杭頭鉛直ばね定数、手計算法、数値解析、パラメトリック・スタディ

連絡先：〒541 大阪市中央区高麗橋2-1-10 (株)ジオトップ 基礎研究室 TEL:(06)226-0871 FAX:(06)226-0992

の程度は  $k_f$  の分布にも依存する<sup>2)</sup>。図-2の軸力分布の場合、A-A型では [杭中央の軸力]=[平均軸力]であるが、B-B型では [杭中央の軸力]>[平均軸力]である。比で定義している(3)式において、分母に安全側の値を用いているので、 $R_{mod}$ による補正是、一般的に安全側になると考えられる。

### 3.2 増加係数 $I_{mod}$

(4)式の  $I_{mod}$  の妥当性について検討するため、(1)式と(2)式から、 $(K_{TH}/K_s - 1)/a$  の値を  $a$ ,  $K_f/(K_f + K_b)$  をパラメータとして計算する。その結果のまとめを、図-3に示す。この図から、 $K_f/(K_f + K_b) > 0.6$  ならば、(4)式の  $I_{mod}$  は広範囲の  $a$  に対して安全側であることが分かる。したがって、いわゆる摩擦杭であれば、(4)式は妥当なものといえる。

ただし、 $a > 1.5$  または  $K_f < K_b$  の場合は、一般的に危険側になるので、留意する必要がある。

## 4. パラメトリック・スタディ

種々の条件における修正係数の妥当性を検討するため、(5)(6)式と1次元FEMを用いた荷重伝達法による計算値を、パラメータを変化させて比較する。

基準条件として、次のものを採用する： $k_f$  の平均値=1[kgf/cm<sup>3</sup>],  $k_b=10$ [kgf/cm<sup>3</sup>],  $L=10$ [m],

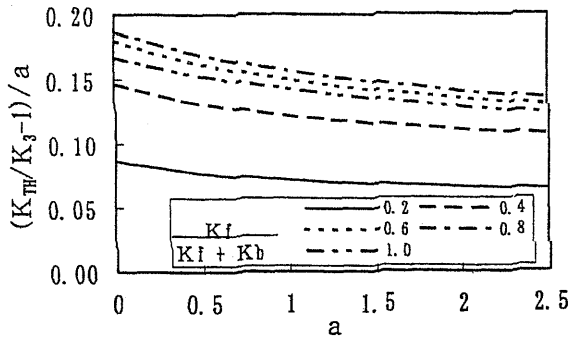


図-3  $(K_{TH}/K_s - 1)/a$  と  $a$  の関係

表-1 簡便計算法と1次元FEMによる杭頭鉛直ばね定数の計算値の比較(◎は同一条件の解)

計算条件	計算定数	$K_{TH}$	$K_s$	$a$	$R_{mod}$	$K_{THmod}$	$K_{3mod}$	$K_{FEM}$	$K_{THmod}$	$K_{3mod}$
		(1)式	(2)式			(3)式	(5)式	(6)式	$\frac{K_{THmod}}{K_{FEM}}$	$\frac{K_{3mod}}{K_{FEM}}$
①	$\rho = 1/2$	147.0	134.6	0.563	0.913	134.2	133.3	135.0	0.994	0.987
	◎ $\rho = 2/3$	"	"	"	0.955	140.3	139.4	141.3	0.993	0.987
	$\rho = 1$	"	"	"	1.000	147.0	146.0	147.0	1.000	0.993
	$\rho = 2$	"	"	"	"	"	"	152.2	0.966	0.959
② & ③	E:1/2倍 L=20m	127.2	108.7	1.125	0.929	118.1	118.0	119.0	0.992	0.992
	◎ E:基準値 L=10m	147.0	134.6	0.563	0.955	140.3	139.4	141.3	0.993	0.987
④	E:2倍 L=5m	160.2	152.8	0.281	0.974	156.0	155.1	156.7	0.996	0.990
	◎ $R_f = 0.889$	147.0	134.6	0.563	0.955	140.3	139.4	141.3	0.993	0.987
	$R_f = 0.444$	132.5	122.9	"	0.979	129.7	130.5	129.1	1.005	1.011
	$R_f = 0.222$	123.3	117.8	"	0.990	122.0	126.4	121.5	1.004	1.040